

## РАБОТА 2.06

### Гистерезис ферромагнетика

#### Цель работы

1. Получить на экране осциллографа предельную петлю гистерезиса ферромагнетика в переменном магнитном поле. Измерить основные параметры ферромагнитного материала: индукцию насыщения  $B_m$ , остаточную индукцию  $B_0$ , козерцитивную силу  $H_c$ , предельную магнитную проницаемость  $\mu_m$ .
2. Снять основную кривую намагничивания ферромагнетика.

#### Введение

Ферромагнетиками называют вещества, состоящие из спонтанно (самопроизвольно) намагниченных областей - доменов. Основными специфическими свойствами ферромагнетиков являются аномально большие значения магнитной проницаемости  $\mu$  (до  $10^4$  и выше) и нелинейная неоднозначная зависимость намагниченности  $J$  от напряженности магнитного поля  $H$ . Напомним, что помимо ферромагнетиков существуют еще два типа магнетиков: диамагнетики и парамагнетики, о которых сказано в теоретическом введении к данной главе. Согласно формуле (39) магнитная индукция

$$\bar{B} = \mu_0(\bar{H} + \bar{J}) \quad (6.1)$$

и следовательно, нелинейной и неоднозначной является также зависимость  $B(H)$ . Для однородного и изотропного магнетика согласно(42)

$$\bar{B} = \mu\mu_0\bar{H}. \quad (6.2)$$

Простота соотношения (6.2) побуждает использовать его и для ферромагнетиков; при этом вся сложность процесса намагничивания ферромагнетика переносится на зависимость  $\mu(H)$ .

Согласно формуле (43), магнитная проницаемость  $\mu$  показывает, во сколько раз индукция магнитного поля в ферромагнетике больше, чем в вакууме (или в любом неферромагнитном веществе, например в воздухе) – при неизменных внешних макротоках, возбуждающих магнитное поле.

К ферромагнетикам принадлежат железо, никель, кобальт, гадолиний, их сплавы и сплавы их с другими металлами. Ферромагнитными свойствами обладают некоторые сплавы элементов, которые порознь не являются

ферромагнитными (например, сплав мели и марганца), и ряд не металлических веществ, называемых ферритами.

Ответственными за магнитные свойства ферромагнетиков являются собственные (спиновые) магнитные моменты электронов. Хотя наиболее известные ферромагнетики - железо, кобальт, никель - металлы, за ферромагнетизм ответственны не свободные электроны, а электроны, принадлежащие ионам кристаллической решетки и находящиеся на незаполненных оболочках. Как показывают наблюдения, у всех ферромагнитных элементов в недостроенной оболочке имеются нескомпенсированные спины электронов, например, у железа их 4, а у кобальта - 3. Однако, наличие нескомпенсированных спинов не всегда приводит к возникновению ферромагнетизма. Действительно, марганец имеет 5 нескомпенсированных спинов, а хром - 4 и оба они не ферромагнитны. Поэтому, помимо необходимого условия наличия нескомпенсированных спинов в недостроенных оболочках атомов, есть еще одно необходимое условие ферромагнетизма, которое связано с особенностью кристаллической решетки ферромагнетиков. Подчеркнем, что ферромагнетизм присущ только кристаллическим телам. При образовании атомами ферромагнетика кристаллической решетки их валентные электроны "обобществляются", в том смысле, что волновые функции электронов недостроенных оболочек соседних атомов перекрываются. Это приводит к значительному возрастанию обменного взаимодействия электронов, локализованных в узлах кристаллической решетки. Энергия этого взаимодействия зависит от отношения параметра кристаллической решетки к диаметру незаполненной электронной оболочки атома. Если энергетически выгодна параллельная ориентация спинов взаимодействующих электронов, то у образца появляются ферромагнитные свойства. Это происходит, если параметр кристаллической решетки превышает диаметр незаполненной электронной оболочки атома примерно в полтора раза, что и будет вторым условием возникновения ферромагнетизма. Данное правило не выполняется, например, для хрома и марганца, поэтому они и не ферромагнитны, однако, уже у ряда сплавов, включающих хром или марганец, параметр кристаллической решетки оказывается измененным так, что приведенное выше условие выполняется и эти сплавы обладают ферромагнитными свойствами, например, сплав Гейслера ( $Cu_2MnAl$ ).

Как уже говорилось выше, отличительной чертой ферромагнетиков является наличие у них устойчивой доменной структуры. Объяснить эту особенность можно исходя из принципа, согласно которому устойчивое состояние - это состояние, соответствующее минимуму свободной энергии. Ясно, что однодоменный ферромагнитный кристалл является постоянным магнитом, который создает внешнее магнитное поле, обладающее определенной энергией. В случае, если этот же кристалл двухдоменный с противоположной ориентацией спинов, то внешнее магнитное поле обладает меньшей энергией, у четырехдоменного - еще меньшей и т.д. Действительно, силовые линии магнитного поля, выходя из одного домена, входят в соседний, а не замыкаются через бесконечность на другом конце образца, что и приводит к уменьшению "рассеяния" силовых линий. Поэтому магнитное поле достаточно быстро убывает при удалении от поверхности, обеспечивая уменьшение энергии магнитного поля вокруг образца, разбитого на домены, по сравнению с намагниченным образцом. Однако процесс дробления на домены имеет определенный предел. Дробление кристалла на домены связано с образованием новых граничных слоев между доменами, а на это нужно затратить некоторую энергию. Понятно, что процесс деления доменов останавливается, когда энергия, идущая на образование новых граничных слоев между доменами, оказывается сравнимой с выигрышем энергии за счет уменьшения энергии внешнего магнитного поля ферромагнетика.

В ненамагнченном ферромагнетике домены хаотично ориентированы в пространстве, и намагнченность равна нулю. Во внешнем магнитном поле намагнченность  $J$  и, следовательно, индукция  $B$  увеличивается с напряженностью  $H$  (кривая 1 на рис. 6.1): на участке  $OA$  - за счет роста доменов, ориентированных по полю, на участке  $AC$  - за счет их поворота; участок  $CE$  характеризует насыщение намагнченности  $J$  (в соответствии с (6.1) кривая  $B(H)$  не выходит на насыщение, а переходит в прямую с небольшим наклоном к оси  $H$ ). Кривую 1 называют основной кривой намагничивания ферромагнетика. Точка  $C$  на кривой намагничивания, т.е. условию достижения насыщения намагнченности, соответствует индукция насыщения  $B_m$ .

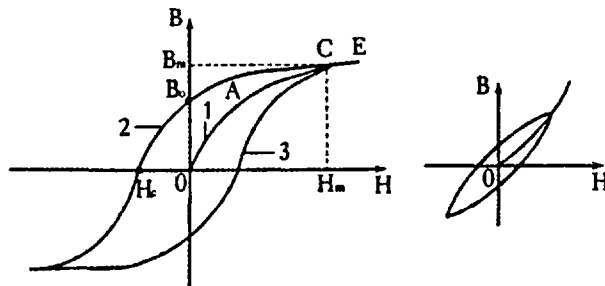


Рис. 6.1. Петля гистерезиса ферромагнетика

При уменьшении напряженности магнитного поля  $H$  индукция  $B$  начинает уменьшаться (кривая 2 на рис. 6.1). При  $H=0$  остаточная индукция  $B_0$  не равна 0. Для ее компенсации к ферромагнетику нужно приложить магнитное поле с напряженностью  $H_c$  в направлении, противоположном начальному, (магнитная коэрцитивная сила). Если продолжать увеличивать напряженность этого "обратного" поля, то опять наступит насыщение намагниченности. Последующее изменение напряженности снова в "прямом" направлении сопровождается изменением индукции  $B$  по кривой 3. Таким образом, график зависимости  $B(H)$  имеет вид петли, которую называют предельной петлей гистерезиса. Петля гистерезиса - важная характеристика ферромагнетика.

Если внести ферромагнетик в слабое переменное магнитное поле, не способное довести его до насыщения намагниченности, то зависимость  $B(H)$  имеет вид петли, изображенной в нижнем правом углу рис.6.1. Ее называют частной петлей гистерезиса. Линия, проведенная через вершины частных петель, практически совпадает с основной кривой намагничивания, которую получают при первоначальном намагничивании образца.



Рис. 6.2. Зависимость магнитной проницаемости ферромагнетика от напряженности  $H$

Зависимость магнитной проницаемости  $\mu$  от  $H$  может быть построена по основной кривой намагничивания с помощью формулы (6.2). Она имеет вид, показанный на рис. 6.2 (кривая Столетова). При росте  $H$  значение  $\mu$  достигает максимума, а затем при насыщении намагниченности быстро падает. Значение  $\mu$  в максимуме - предельную магнитную проницаемость  $\mu_m$  - можно оценить по формуле (6.2), подставив в нее значения  $H_m$  и  $B_m$  (см. рис. 6.1).

### Экспериментальная установка

Исследуемый образец представляет собой кольцевой ферритовый сердечник прямоугольного поперечного сечения площадью  $S$ . На сердечнике размещены две обмотки: первичная намагничивающая обмотка с числом витков  $n_1$  и вторичная измерительная обмотка с числом витков  $n_2$ . Первичная обмотка и последовательно с ней соединенный резистор  $R_1$  подключены к генератору  $G$  (рис. 6.3). Ток  $i_1$  в первичной обмотке возбуждает в сердечнике магнитное поле напряженностью

$$H = \frac{n_1}{l} i_1, \quad (6.3)$$

где  $l = 2\pi r$  - длина окружности сердечника по средней линии.

С резистора  $R_1$  на вход  $X$  осциллографа подается переменное напряжение  $u_1 = R_1 i_1$ . С другой стороны,  $u_1 = a_x x$ , где  $a_x$  - коэффициент горизонтального отклонения луча (в В/дел). Используя эти формулы для  $u_1$ , преобразуем (6.3) к виду:

$$H = m_x x, \quad (6.4)$$

где

$$m_x = \frac{n_1 a_x}{2\pi r R_1} \quad (6.5)$$

есть масштаб оси  $X$ , который позволяет по измеренному горизонтальному отклонению луча  $x$  найти соответствующее ему значение напряженности магнитного поля  $H$ .

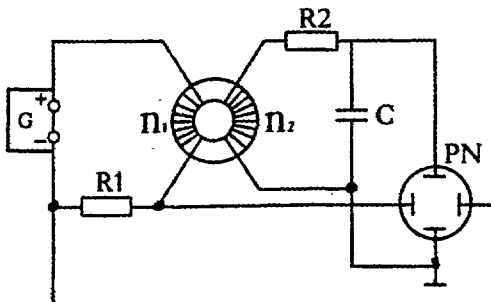


Рис. 6.3. Схема электрической цепи установки

Если напряжение на входе  $Y$  осциллографа отсутствует, то на экране будет видна горизонтальная линия, длина которой  $2x_0$  соответствует удвоенной амплитуде напряженности  $2H_0$ .

Во вторичной обмотке индуцируется ЭДС (в соответствии с законом электромагнитной индукции Фарадея):

$$E = n_2 \frac{d\Phi}{dt} = n_2 S \frac{dB}{dt}, \quad (6.6)$$

где  $\Phi = BS$  - магнитный поток через каждый виток.

В цепь вторичной обмотки включены последовательно резистор  $R_2$  и конденсатор  $C$ , что позволяет получить на конденсаторе напряжение, пропорциональное  $B$ , и подать его на вход  $Y$  осциллографа. Действительно, индуцированная ЭДС обуславливает во вторичной цепи ток  $i_2 = E/R_2$  (если пренебречь индуктивным сопротивлением обмотки и емкостным сопротивлением конденсатора, которые много меньше сопротивления  $R_2$ ). Ток  $i_2$  создает на конденсаторе напряжение:

$$u_c = \frac{q}{C} = \frac{1}{C} \int i_2 dt = \frac{n_2 S}{R_2 C} B. \quad (6.7)$$

Учитывая, что  $u_y = u_c = a_y y$ , где  $a_y$  - коэффициент вертикального отклонения луча, преобразуем (6.7) к виду:

$$B = m_y y, \quad (6.8)$$

где

$$m_y = \frac{R_2 C a_y}{S n_2} \quad (6.9)$$

масштаб оси  $Y$ , который позволяет по измеренному отклонению луча  $y$  найти соответствующее значение индукции магнитного поля  $B$ .

Если сигнал на вход  $X$  не подан, на экране осциллографа будет видна вертикальная линия, длина которой  $2y_0$  соответствует удвоенной амплитуде магнитной индукции  $2B_0$ .

При одновременной подаче переменных напряжений  $u_1 \approx H$  и  $u_c \approx B$  на входы  $X$  и  $Y$  осциллограмма примет вид динамической зависимости  $B(H)$ , т.е. петли гистерезиса.

### Проведение эксперимента

1. Ознакомьтесь с правилами техники безопасности. Выполните указанные в них рекомендации.
2. Проверьте правильность сборки электрической цепи согласно рис. 6.3. Включите осциллограф. На экране должна появиться светящаяся точка. Ручками горизонтального и вертикального смещения луча выведите ее в центр сетки экрана.
3. Включите генератор. Выставьте одну из рекомендованных частот. Плавно увеличивайте напряжение на выходе генератора, наблюдая при этом за изображением петли гистерезиса, пока на верхнем и нижнем концах петли не появятся участки насыщения (предельная петля гистерезиса). Если расстояние между ее вершинами по горизонтали  $2x$  или по вертикали  $2y$  меньше половины экрана, увеличьте размеры изображения, увеличив коэффициенты отклонения  $a_x$  или  $a_y$  каналов  $X$  или  $Y$ . Запишите в протокол установленные значения  $a_x$  и  $a_y$ . Результат согласуйте с преподавателем.
4. На осях, проходящих через центр петли, измерьте координаты точек  $x_c$  и  $y_0$  (в делениях сетки, равных обычно 1 см), соответствующих значениям коэрцитивной силы  $H_c$  и остаточной индукции  $B_0$ . Качество измерений можно улучшить, если измерять расстояния  $2x_c$  и  $2y_0$ , соответствующие значениям  $2H_c$  и  $2B_0$ . Измерьте также координаты  $x_m$  и  $y_m$  точки, соответствующей магнитной индукции насыщения  $B_m$  (см. рис 6.1, точка  $C$ ).
5. Основную кривую намагничивания снимайте, начиная с предельной петли, ступенями уменьшающей напряженность магнитного поля, в образце (ток в

первичной обмотке). Целесообразно измерять расстояния  $2x$  и  $2y$  между вершинами петель. Результаты заносите в табл. 6.1.

Таблица 6.1. Основная кривая намагничивания ферромагнетика

№ опыта	$2x$ , дел	$2y$ , дел	$H$ , А/м	$B$ , Т

### Обработка результатов

- По формулам (6.5) и (6.9) вычислите значения масштабов  $m_x$  и  $m_y$  (во избежание ошибок расчет масштабов выполните на занятии в лаборатории и результат согласуйте с преподавателем).
- По измеренным значениям координат  $x_0, y_0, x_m, y_m$  и формулам (6.4) и (6.8) вычислите значения параметров  $H_c, B_0$  и  $B_m, H_m$ .
- Вычислите значения  $H$  и  $B$ , соответствующие координатам вершин частных петель гистерезиса из табл. 6.1. Результаты занесите в ту же таблицу. Постройте график  $B(H)$  - основную кривую намагничивания.
- Вычислите по формуле (6.2) предельную магнитную проницаемость  $\mu_m$ .
- Вычислите по формуле (6.2) магнитную проницаемость  $\mu$  ферромагнетика во всех измеренных точках основной кривой намагничивания из табл. 6.1. Постройте график зависимости  $\mu(H)$  - изменения магнитной проницаемости при намагничивании ферромагнетика.

### Контрольные вопросы

- Как зависят намагченность  $J$  и индукция  $B$  ферромагнетика от напряженности магнитного поля  $H$ ?
- Что такое магнитная проницаемость вещества? Как изменяется магнитная проницаемость при намагничивании ферромагнетика?
- Как получить на экране осциллографа петлю гистерезиса? Какую роль играет  $RC$ -цепочка (последовательно соединенные резистор и конденсатор) во второйной цепи?
- Как отличить предельную петлю гистерезиса от частных петель? Какие параметры характеризуют предельную петлю гистерезиса ферромагнетика?
- Опишите процедуру снятия основной кривой намагничивания ферромагнетика.